




0
5
10
15


0
5
CENTIMETERS
10
15

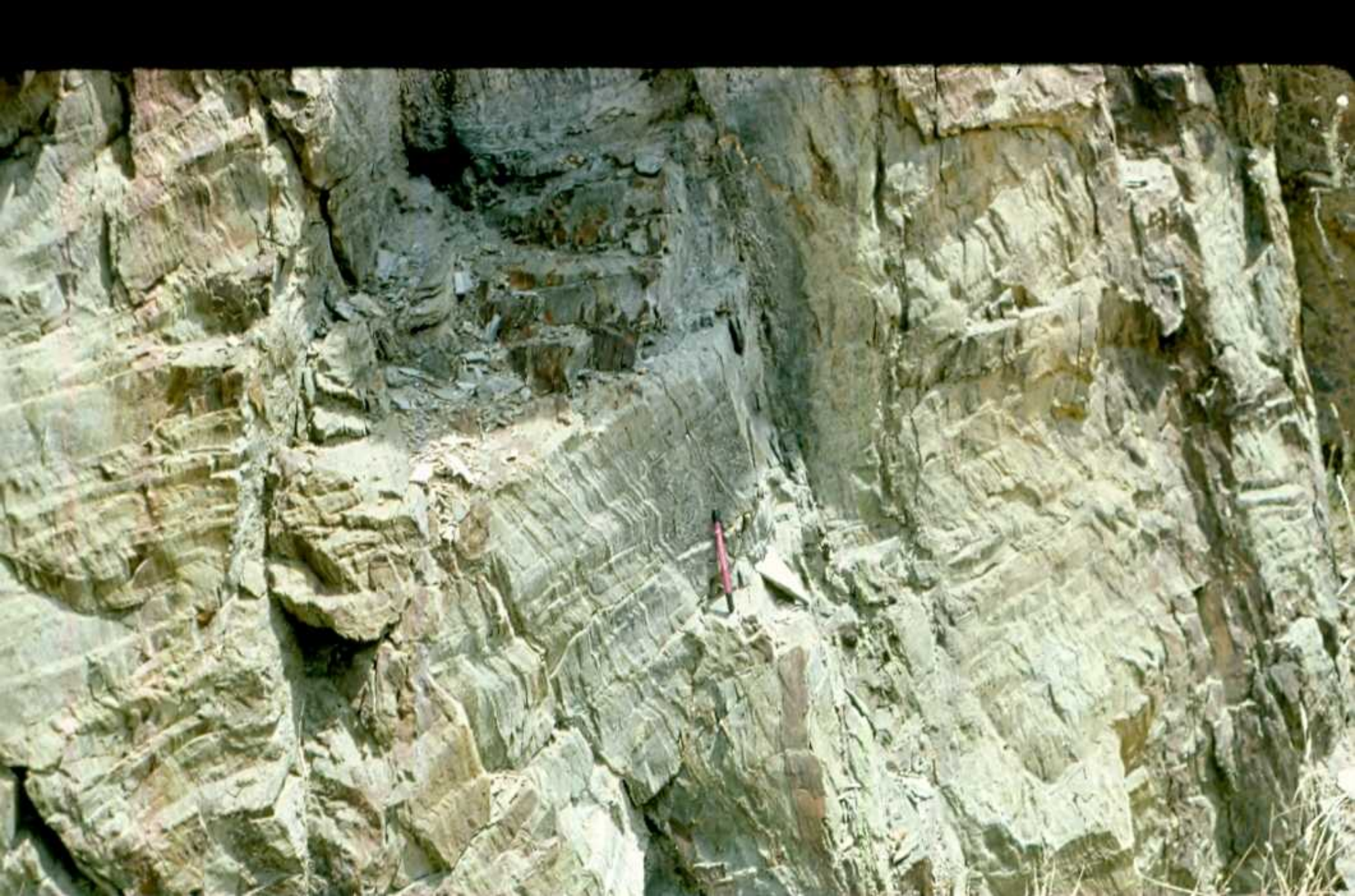










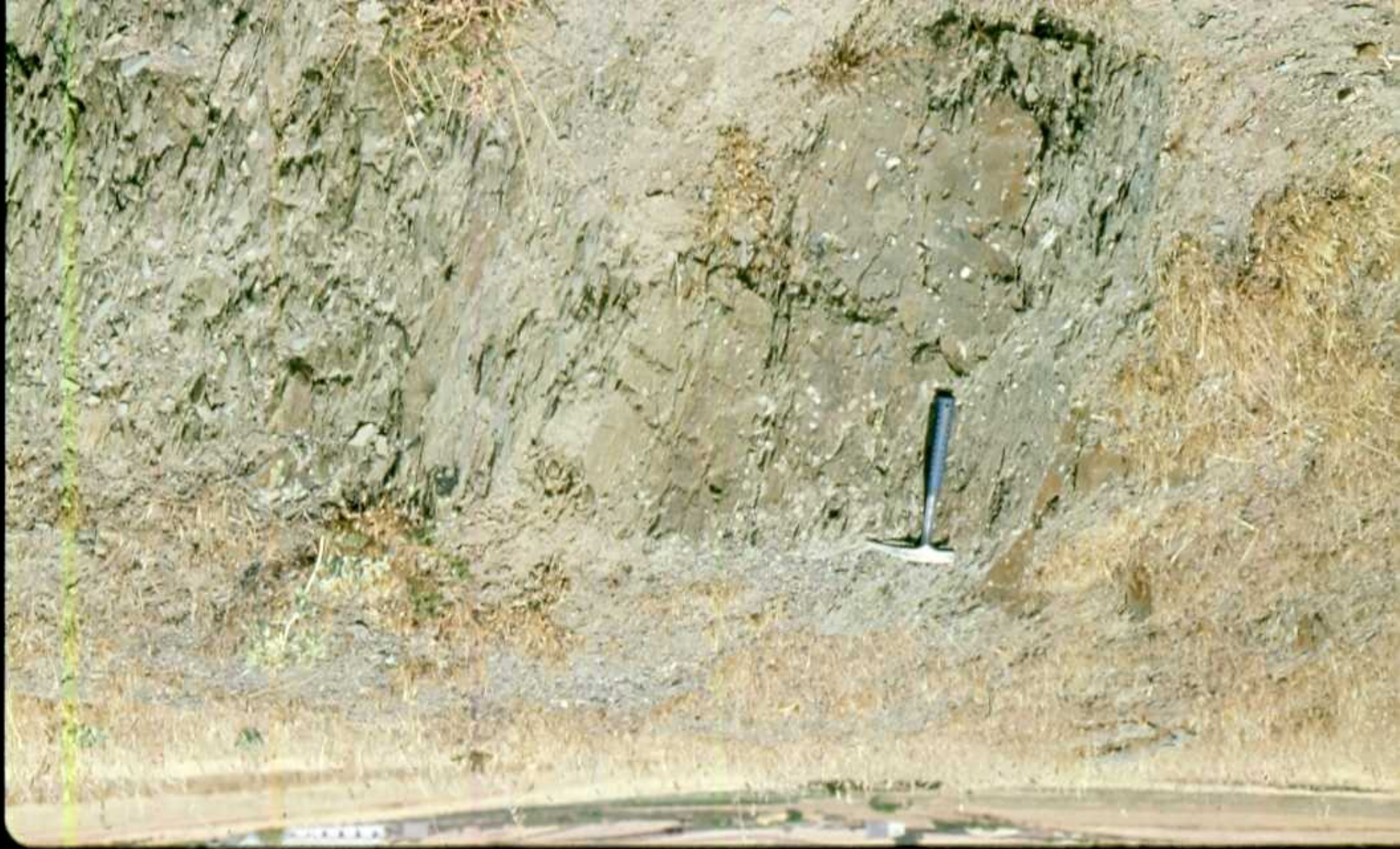






















































































COLECCION DE FOTOGRAFIAS

JP 1519.- Compensación de capas. Areniscas del Azorejo. Carretera de Herrera del Duque (U. 17)

JP 1522.- Capas con laminación paralela y ripples. Areniscas del Azorejo (U. 17). Carretera de Herrera del Duque.

JP 1523.- Capas con laminación paralela y ripples de oscilación. Areniscas del Azorejo (U. 17). Carretera de Herrera del Duque.

JP 1525.- Estratificación hummocky y ripples de oscilación. Areniscas del Azorejo (U. 17). Carretera de Herrera del Duque.

JP 1527.- Idem foto anterior.

JP 1528.- Megarripples de oscilación. Areniscas del Azorejo (U. 17). Carretera de Herrera del Duque.

JP 1530.- Compensación de capas. Areniscas del Azorejo (U. 17). Carretera de Herrera del Duque.

JP 1531.- Cabalgamiento del granito (U. 5) en dirección E-W sobre conglomerados del Oligoceno-Mioceno (U. 24).

JP 1532.- Granitos alumínicos intruyendo corneanas del Precámbrico (U. 18) Trinchera del ferrocarril.

JP 1533.- Relaciones entre la estratificación y la esquistosidad S_1 (U. 14).

JP 1534.- Esquistosidad tardía crenulando a la S_1 subvertical. Trinchera del Ferrocarril (U. 14).

JP 1535.- Banda de cizalla y milonita en granito migmatítico (U. 2).

JP 1536.- Flujo magmático en granitos alumínicos (U. 5).

JP 1537.- Flujo magmático en granitos alumínicos (U. 5).

JP 1538.- Modelado en Tormos de los granitos (U. 4).

JP 1539.- Niveles de conglomerados en el Precámbrico, cerca de La Estrella (U. 7 y 8).

JP 1540.- Detalle del afloramiento de la foto anterior (U. 7 y 8).

AO 9501.- Facies melanocráticas y leucocráticas en los granitoides sincinemáticos (Trinchera FF.CC) (U. 2).

AO 9502.- Detalle de facies melanocráticas (Trinchera FF CC) (U. 2)

AO 9503.- Idem con abundantes enclaves (Trinchera FF CC) (U. 2).

AO 9504.- Lineaciones en los granitoides sincinemáticos (Trinchera FF CC) (U. 2).

AO 9505 y 9506.- Orientaciones de flujo en los granitoides sincinemáticos (Trinchera FF CC) (U. 3).

AO 9507.- Zona de transición entre granitoides sincinemáticos y granitos microporfídicos tardicinemáticos (Trinchera FF CC) (U. 3)

AO 9508.- Lineaciones en granitos (Trinchera FFCC) (U. 5).

AO 9509.- Enclave de cuarzo desplazado en fractura (Trinchera FFCC) (U. 5).

AO 9510.- Granitos microporfídicos (Trinchera FFCC) (U. 5).

AO 9511.- Enclave penetrado por granitos a favor de la esquistosidad (U. 5).

AO 9512 y 9513.- Contacto granito-metamórfico (Pizarras del Pusa) en las proximidades del rio Huso (U. 4 y 18).

AO 9514 y 9515.- Metamorfismo con neoformaciones ("Mosqueo") en Aldeanueva de Barbarroya (U. 12).

AO 9516.- Panorámica del valle del Gévalo. En 1er término cuaternario a continuación terciario y al fondo releives paleozoicos.

AO 9517.- Contacto entre las unidades miocena (27) y mio-pliocena (28) al Este de Alcaudete.

AO 9518.- Depósitos de raña al Sur de Belvis de la Jara.

AO 9519.- Mioceno superior - Plioceno inferior (28) en la carretera de Belvis a La Nava de Ricomalillo.

AO 9520.- Contacto por falla entre Areniscas del Azorejo y Tremadoc en la carretera a La Nava de Ricomalillo (U. 17 y 23).

AO 9521.- Limolitas del Tremadoc en el mismo punto (U. 23).

AO 9522.- Alternancia de cuarcitas y limolitas apizarradas de la Fm. Azorejo (U. 17).

AO 9523.- Bloques y cantos de la zona proximal de la raña en la Cª de La Nava (U. 30).

AO 9524.- Morfología en cuesta en el Tremadoc al SE de la hoja. En primer término raña (U. 30).

AO 9525.- Microconglomerados con cantos de cuarzo predominantes (Debris flow) de la Formación Turbiditas de Estomiza, medio kilómetro al S del pueblo de Fuentes (U. 9).

AO 9526.- Idem foto 9525.

AO 9527.- Conglomerados con cantos de cuarzo predominantes (Debris flow) de la Formación Turbiditas de Estomiza (U. 9).

AO 9528.- Idem foto 9527.

AO 9529.- Pelitas microbandeadas en la Formación Limolitas del Pusa, - afectadas por la 1ª esquistosidad hercínica (U. 14).

AO 9530.- Idem foto 9529.

AO 9531.- Conglomerado con cantos de cuarzo, lidita y arenisca en la - Formación Turbiditas del Estomiza (Debris flow) en el Arroyo de la Anguilucha, al Oeste de La Estrella, por el camino del cementerio (U. 9).

AO 9532.- Idem foto 9531.

AO 9533.- Cantos de cuarzo centimétricos en capas finas y delgadas (tbt) de la Formación Turbiditas del Estomiza, próxima a la foto anterior (U. 7).

AO 9534.- Calizas con laminaciones algales y probable influencia de tormentas en las cercanias de la carretera de Alcaudete a La - Fresneda (U. 18).

AO 9535.- Idem foto 9534

AO 9536.- Idem foto 9534.

AO 9537.- Granodiorita de megacristales tardía en la carretera de Alcaudete de la Jara a La Fresneda (U. 5).

AO 9538.- Idem foto 9537.